

## ОПРЕДЕЛЕНИЕ ЧАСТОТ СВОБОДНЫХ КОЛЕБАНИЙ В ТРУБОПРОВОДЕ С УПРУГИМ ЭЛЕМЕНТОМ

**Е.К. Синиченко, Ф.В. Рекач**

Российский университет дружбы народов  
ул. Орджоникидзе, 3, Москва, Россия 117923

Рассматривается задача определения частот свободных колебаний в трубопроводе при наличии упругого элемента.

**Ключевые слова:** частота свободных колебаний, упругий элемент.

Практика эксплуатации магистральных трубопроводов систем водоснабжения и напорных сетей канализации показывает, что пульсации давления и расхода, возникающие на выходе нагнетательных установок и затем передающиеся в магистраль, а также возмущения ударного характера, имеющие место при пуске и выключении нагнетательных установок, срабатывании запорных элементов, являются причиной воздействия на трубопровод динамических нагрузок, которые могут вызывать аварии и катастрофы с тяжелыми последствиями, человеческими жертвами.

Одним из эффективных средств гашения волновых процессов в трубопроводных системах являются стабилизаторы давления. Принцип их работы основан на распределенном по длине трубопровода диссипативном и упругодемпфирующем воздействии на пульсирующий поток перекачиваемой среды. Наибольший эффект гашения достигается при диссипации энергии пульсаций на перфорационных отверстиях, равномерно распределенных по длине стабилизатора, а также вследствие демпфирования, обусловленного податливостью упругих элементов стабилизатора, выполняемых в виде газовой подушки, камер и сильфонов со стенками из пружинистых и эластичных материалов.

Однако наличие в трубопроводной системе стабилизатора давления может привести к значительному изменению параметров, в том числе и собственных частот водопроводной или напорной канализационной схемы. Это необходимо учитывать, так как при совпадении частоты вынужденных колебаний с собственной частотой системы возникает резонанс колебаний, ведущий к выходу из строя отдельных агрегатов водоснабжения или напорной канализации. Этой проблеме и посвящена данная работа.

Неустановившееся движение несжимаемой жидкости в трубопроводе без учета трения описывается уравнениями движения и неразрывности следующего вида:

$$-\frac{\partial p(x,t)}{\partial x} = \frac{1}{F} \frac{\partial G(x,t)}{\partial t}, \quad -\frac{\partial p(x,t)}{\partial t} = \frac{a^2}{F} \frac{\partial G(x,t)}{\partial x}, \quad (1)$$

где  $p(x, t)$  — давление в трубопроводе, [Н/м<sup>2</sup>];  $G = \rho v F$  — массовый расход жидкости в магистрале, [кг/сек];  $\rho$  — плотность жидкости в трубопроводе;  $F$  — площадь поперечного

сечения магистрали;  $a$  — скорость распространения волн давления;  $v$  — скорость движения жидкости.

Дифференцируя первое уравнение (1) по  $x$ , второе — по  $t$ , после преобразований получим:

$$\frac{\partial^2 p(x,t)}{\partial x^2} = \frac{1}{a^2} \frac{\partial^2 p(x,t)}{\partial t^2}, \quad \frac{\partial^2 G(x,t)}{\partial x^2} = \frac{1}{a^2} \frac{\partial^2 G(x,t)}{\partial t^2}. \quad (2)$$

Общее решение системы (2) в форме Д'Аламбера для участка  $x_1 = 0 \div l_1$  (рис. 1) записывается в виде суммы двух волн — прямой и обратной:

$$G_1(x_1, t) = -F \cdot \left[ f_1 \left( t - \frac{x_1}{a} \right) + f_2 \left( t + \frac{x_1}{a} \right) \right], \quad (3)$$

$$p_1(x_1, t) = -a \cdot \left[ f_1 \left( t - \frac{x_1}{a} \right) - f_2 \left( t + \frac{x_1}{a} \right) \right], \quad [f_i] = \frac{\text{кг}}{\text{сек} \cdot \text{м}^2}. \quad (4)$$

Волновое уравнение для участка  $x_2 = 0 \div l_2$  имеет следующий вид:

$$G_2(x_2, t) = -F \cdot \left[ f_3 \left( t - \frac{x_2}{a} \right) + f_4 \left( t + \frac{x_2}{a} \right) \right], \quad (5)$$

$$p_2(x_2, t) = -a \cdot \left[ f_3 \left( t - \frac{x_2}{a} \right) - f_4 \left( t + \frac{x_2}{a} \right) \right]. \quad (6)$$

Волновое уравнение для участка  $x_3 = 0 \div l_3$  имеет следующий вид:

$$G_3(\varphi, x_3, t) = -F \cdot \left[ f_5 \left( t - \left( \frac{\varphi}{\omega} + \frac{x_3}{a} \right) \right) + f_6 \left( t + \left( \frac{\varphi}{\omega} + \frac{x_3}{a} \right) \right) \right], \quad (7)$$

$$p_3(\varphi, x_3, t) = -a \cdot \left[ f_5 \left( t - \left( \frac{\varphi}{\omega} + \frac{x_3}{a} \right) \right) - f_6 \left( t + \left( \frac{\varphi}{\omega} + \frac{x_3}{a} \right) \right) \right], \quad (8)$$

где  $\omega$  — круговая частота собственных колебаний;  $\varphi$  — фазовый угол упругого элемента [2], который равен:

$$\varphi = -\arctg((\rho F_0 a)/(c/\omega - m\omega)) - k\pi, \quad k = 1, 2, 3; \quad (9)$$

$\rho$  — плотность жидкости в трубопроводе,  $c$  — жесткость пружины в упругом элементе, [Н/м],  $F_0$  — площадь поперечного сечения упругого элемента,  $m$  — масса поршня упругого элемента.

Рассмотрим систему, открытую с двух сторон при  $l_3 = 0$ . Тогда *краевые условия* примут вид:

$$p_1(0, t) = 0, \quad x_1 = 0, \quad (10)$$

$$p_2(0, t) = 0, \quad x_2 = 0, \quad (11)$$

$$G_3(0, 0, t) = 0, \quad \varphi = 0, \quad l_3 = 0. \quad (12)$$

В узле ① (рис. 1) запишем условия равенства расходов и давлений:

$$G_1(l_1, t) + G_2(l_2, t) + G_3(\varphi, 0, t) = 0, \quad (13)$$

$$p_1(l_1, t) = p_2(l_2, t), \quad (14)$$

$$p_1(l_1, t) = p_3(\varphi, 0, t). \quad (15)$$

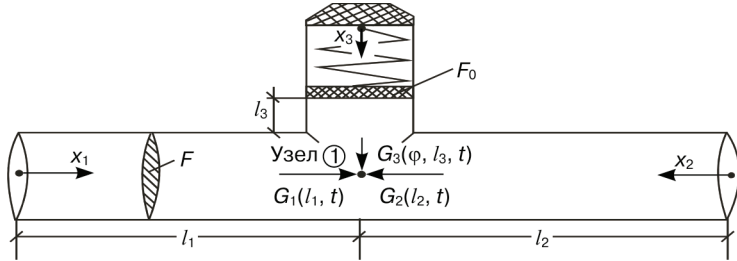


Рис. 1. Движение жидкости в трубопроводе

Подставляя (12) в (6), получим:  $-a \cdot [f_1(t-0) - f_2(t+0)] = 0$ , т.е.  $f_1(t) = f_2(t) = f_7(t)$ .

Аналогично, подставляя (11) в (6), получим:

$$f_3(t) = f_4(t) = f_8(t). \quad (16)$$

Подставляя (12) в (7), получим:  $f_5(t) = -f_6(t) = f_9(t)$ .

Подставляя (16) в (3)—(8), получим:

$$\begin{aligned} G_1(x_1, t) &= -F \cdot \left[ f_7\left(t - \frac{x_1}{a}\right) + f_7\left(t + \frac{x_1}{a}\right) \right], \\ p_1(x_1, t) &= -a \cdot \left[ f_7\left(t - \frac{x_1}{a}\right) - f_7\left(t + \frac{x_1}{a}\right) \right], \\ G_2(x_2, t) &= -F \cdot \left[ f_8\left(t - \frac{x_2}{a}\right) + f_8\left(t + \frac{x_2}{a}\right) \right], \\ p_2(x_2, t) &= -a \cdot \left[ f_8\left(t - \frac{x_2}{a}\right) - f_8\left(t + \frac{x_2}{a}\right) \right], \\ G_3(\varphi, 0, t) &= -F \cdot \left[ f_9\left(t - \frac{\varphi}{\omega}\right) - f_9\left(t + \frac{\varphi}{\omega}\right) \right], \\ p_3(\varphi, 0, t) &= -a \cdot \left[ f_9\left(t - \frac{\varphi}{\omega}\right) + f_9\left(t + \frac{\varphi}{\omega}\right) \right]. \end{aligned} \quad (17)$$

Подставляя (17) в (13)—(15), получим:

$$\begin{aligned} f_7(t - \tau_1) + f_7(t + \tau_1) + f_8(t - \tau_2) + f_8(t + \tau_2) + f_9(t - \bar{\varphi}) - f_9(t + \bar{\varphi}) &= 0, \\ f_7(t - \tau_1) - f_7(t + \tau_1) &= f_8(t - \tau_2) - f_8(t + \tau_2), \\ f_7(t - \tau_1) - f_7(t + \tau_1) &= f_9(t - \bar{\varphi}) + f_9(t + \bar{\varphi}), \end{aligned} \quad (18)$$

где  $\tau_1 = \frac{l_1}{a}$ ,  $\tau_2 = \frac{l_2}{a}$ ,  $\bar{\varphi} = \frac{\varphi}{\omega}$ .

Зададим вид функции

$$f_i(t) = A_i \cos \omega t + B_i \sin \omega t. \quad (19)$$

Подставляя (19) в (18), получим:

$$\begin{aligned} & A_7 \cos \omega(t - \tau_1) + B_7 \sin \omega(t - \tau_1) - A_7 \cos \omega(t + \tau_1) - B_7 \sin \omega(t + \tau_1) = \\ & = A_8 \cos \omega(t - \tau_2) + B_8 \sin \omega(t - \tau_2) - A_8 \cos \omega(t + \tau_2) - B_8 \sin \omega(t + \tau_2). \\ & A_7 \cos \omega(t - \tau_1) + B_7 \sin \omega(t - \tau_1) - A_7 \cos \omega(t + \tau_1) - B_7 \sin \omega(t + \tau_1) = \\ & = A_9 \cos \omega(t - \bar{\varphi}) + B_9 \sin \omega(t - \bar{\varphi}) + A_9 \cos \omega(t + \bar{\varphi}) + B_9 \sin \omega(t + \bar{\varphi}). \end{aligned}$$

Преобразовав последние выражения по формулам тригонометрии, получим:

$$\begin{aligned} & \cos \omega t \cdot (A_7 \cos \omega \tau_1 + A_8 \cos \omega \tau_2 - B_9 \sin \varphi) + \\ & + \sin \omega t \cdot (B_7 \cos \omega \tau_1 + B_8 \cos \omega \tau_2 + A_9 \sin \varphi) = 0, \\ & \cos \omega t \cdot (-B_7 \sin \omega \tau_1 + B_8 \sin \omega \tau_2) + \sin \omega t \cdot (A_7 \sin \omega \tau_1 - A_8 \sin \omega \tau_2) = 0, \\ & \cos \omega t \cdot (-B_7 \sin \omega \tau_1 - A_9 \cos \varphi) + \sin \omega t \cdot (A_7 \sin \omega \tau_1 - B_9 \cos \varphi) = 0. \end{aligned}$$

Приравнявая выражения при  $\cos \omega t$  и  $\sin \omega t$  к нулю, мы получаем систему из шести однородных линейных уравнений относительно  $A_7$ ,  $B_7$ ,  $A_8$ ,  $B_8$ ,  $A_9$ ,  $B_9$ , которая разбивается на две эквивалентные системы:

$$\begin{cases} A_7 \cos \omega \tau_1 + A_8 \cos \omega \tau_2 - B_9 \sin \varphi = 0 \\ A_7 \sin \omega \tau_1 - A_8 \sin \omega \tau_2 = 0 \\ A_7 \sin \omega \tau_1 - B_9 \cos \varphi = 0 \end{cases} \quad \text{и} \quad \begin{cases} B_7 \cos \omega \tau_1 + B_8 \cos \omega \tau_2 + A_9 \sin \varphi = 0 \\ -B_7 \sin \omega \tau_1 + B_8 \sin \omega \tau_2 = 0 \\ -B_7 \sin \omega \tau_1 - A_9 \cos \varphi = 0. \end{cases}$$

Решая одну из систем, получим зависимость между  $\omega$ ,  $\tau_1$ ,  $\tau_2$ ,  $\varphi$ :

$$\operatorname{ctg} \omega \tau_1 + \operatorname{ctg} \omega \tau_2 + \operatorname{tg} \varphi = 0. \quad (20)$$

Заменяя условие (9) на условие  $G_2(0, t) = 0$  и выполняя аналогичные выкладки, получим решение для трубопроводной системы с открытым (в сечении  $x_1 = 0$ ) и закрытым (в сечении  $x_2 = 0$ ) концами:

$$\operatorname{ctg} \omega \tau_1 - \operatorname{tg} \omega \tau_2 + \operatorname{tg} \varphi = 0. \quad (21)$$

**Пример.** Исходные данные:  $\rho = 1000 \text{ кг/м}^3$ ,  $F_0 = F = 0,7854 \text{ м}^2$  (диаметр трубы  $\varnothing = 1 \text{ м}$ ),  $a = 1500 \text{ м/с}$ ,  $c = 3,14 \cdot 10^7 - 3,14 \cdot 10^8 \text{ Н/м}$ ,  $m = 1500 \text{ кг}$ ,  $l_1 = 50 \text{ м}$ ,  $l_2 = 50 \text{ м}$ ,  $l_3 = 0$ .

На рис. 2 показаны три первые круговые частоты  $\omega_1$ ,  $\omega_2$ ,  $\omega_3$  для трубопроводной системы с открытыми концами (сплошные линии) и с открытым и закрытым концами (пунктирные линии) в зависимости от жесткости пружины  $c$ .

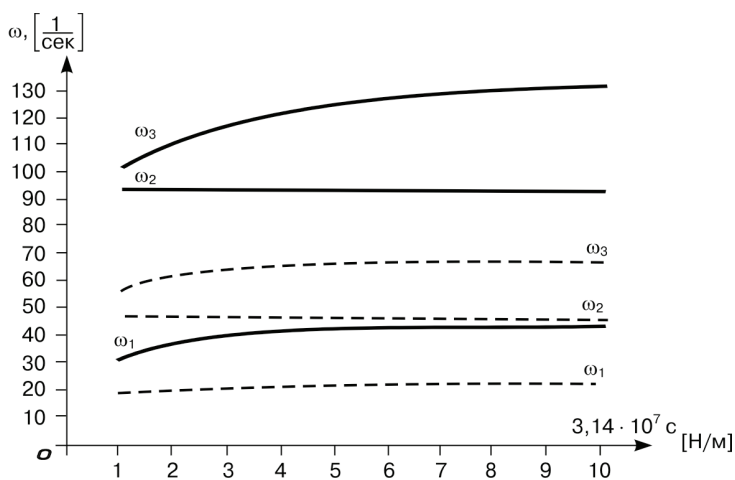


Рис. 2. Круговые частоты для трубопроводной системы

Следовательно, при расчете систем водоснабжения и напорной канализации важно определять спектр собственных частот трубопроводов, особенно при наличии стабилизаторов давления, включающих упругие элементы, способные значительно повлиять на общие параметры системы. В данной работе рассмотрен элемент трубопровода водоснабжения (или канализации), который может быть включен в общую схему. Методика подобного расчета подробно описана в работе [2]. Авторы рекомендуют не пренебрегать анализом вышеперечисленных факторов и в случае совпадения (или приближения) собственной частоты системы к частоте вынужденных колебаний воспользоваться методами ее изменения, описанными в данной статье.

#### ЛИТЕРАТУРА

- [1] Гидроупругие колебания и методы их устранения в закрытых трубопроводных системах / Под ред. Х.Н. Низамова. — Красноярск: ВНИИГИМ, 1983.
- [2] *Махин В.А., Присняков В.Ф., Белик Н.П.* Динамика жидкостных ракетных двигателей. — М.: Машиностроение, 1969.
- [3] *Чарный И.А.* Неустановившееся движение реальной жидкости в трубах. — М.: Недра, 1975.

## DETERMINATION OF FREE OSCILLATIONS FREQUENCIES IN WATER LINES WITH ELASTIC ELEMENT

E.K. Sinichenko, F.V. Rekach

Peoples' Friendship University of Russia  
Mikluho-Maklaja str., 6, Moscow, Russia, 117198

Pressure oscillations in water lines with elastic element are considered. D'Alamber method is used. Problem of determination of free oscillation frequencies is investigated.

**Key words:** free oscillation frequencies, elastic element.